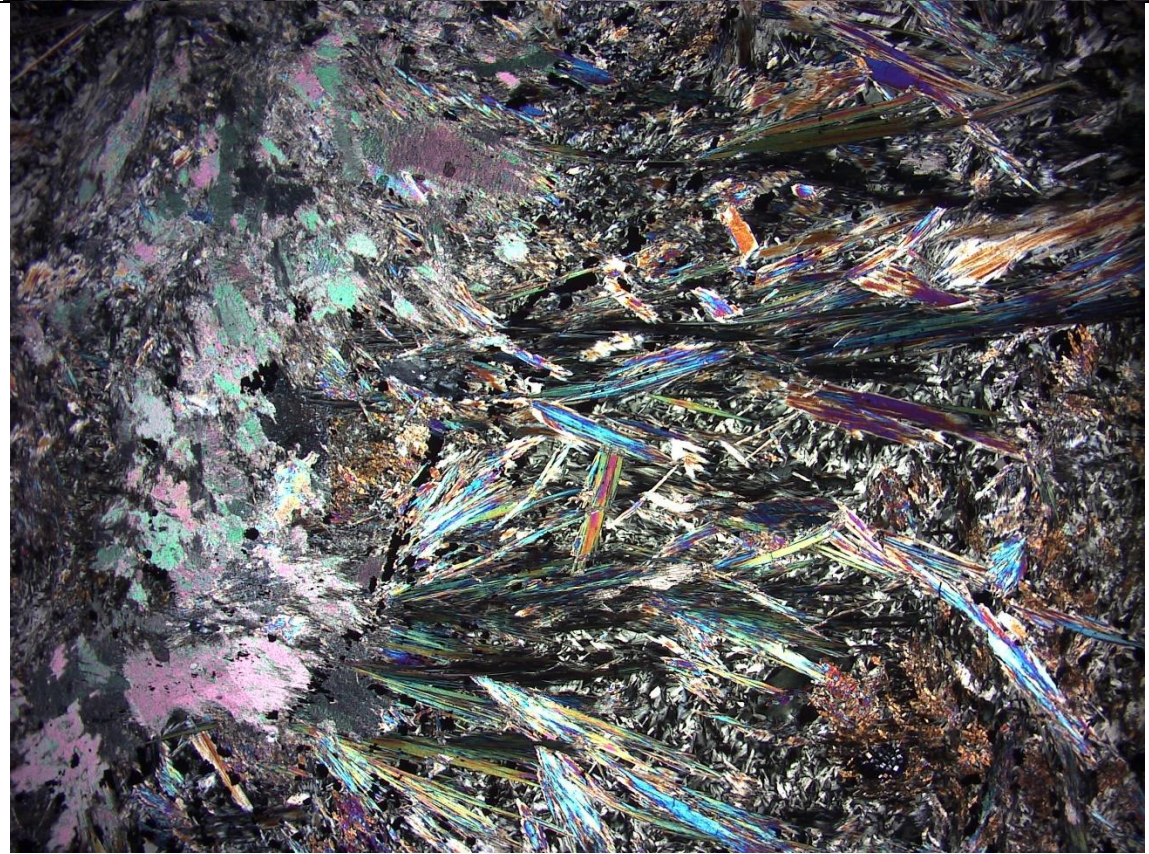
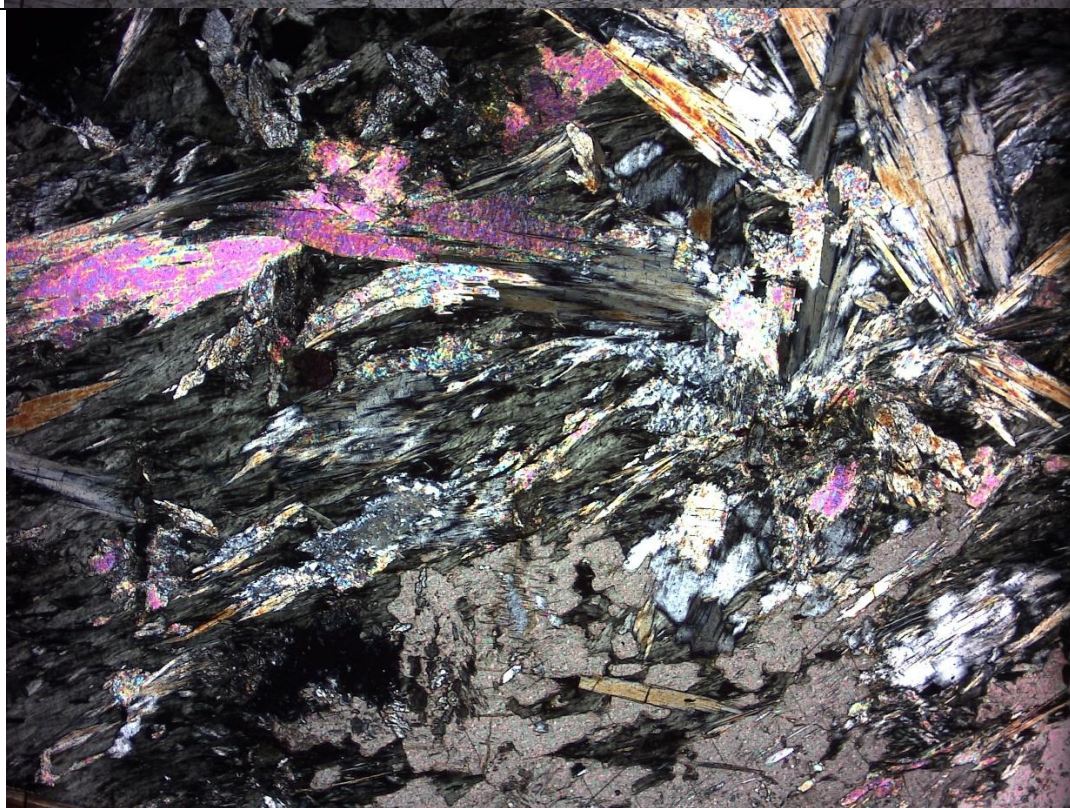
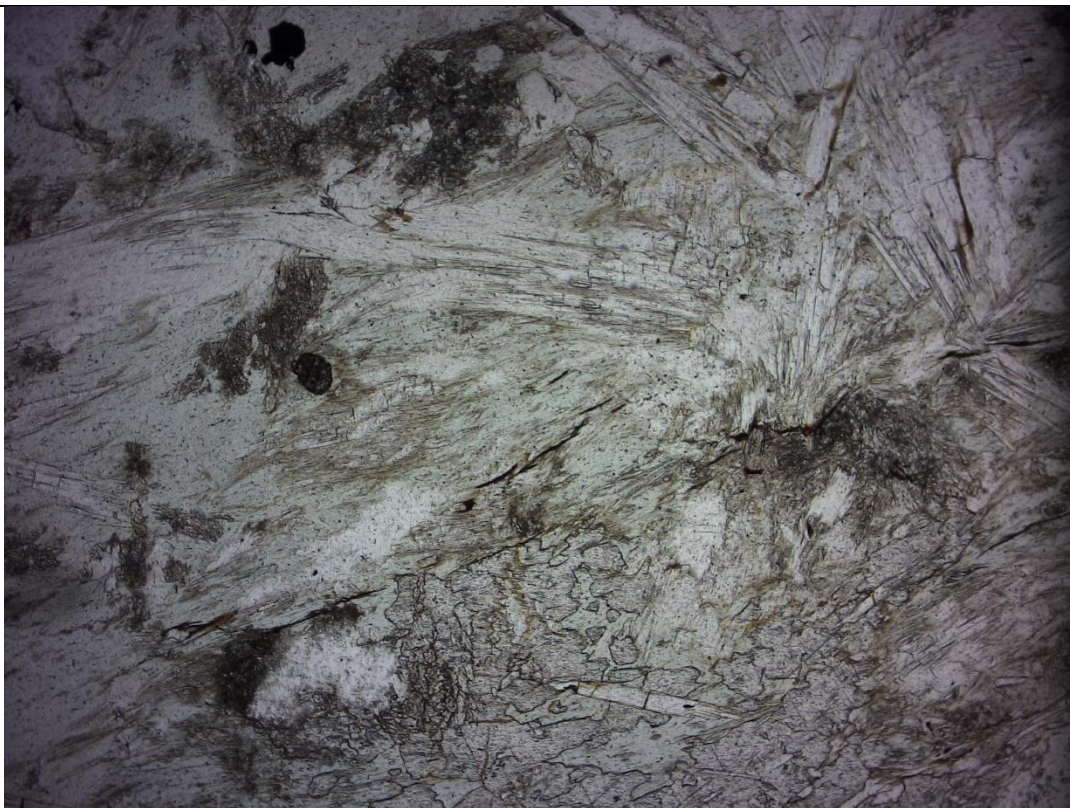


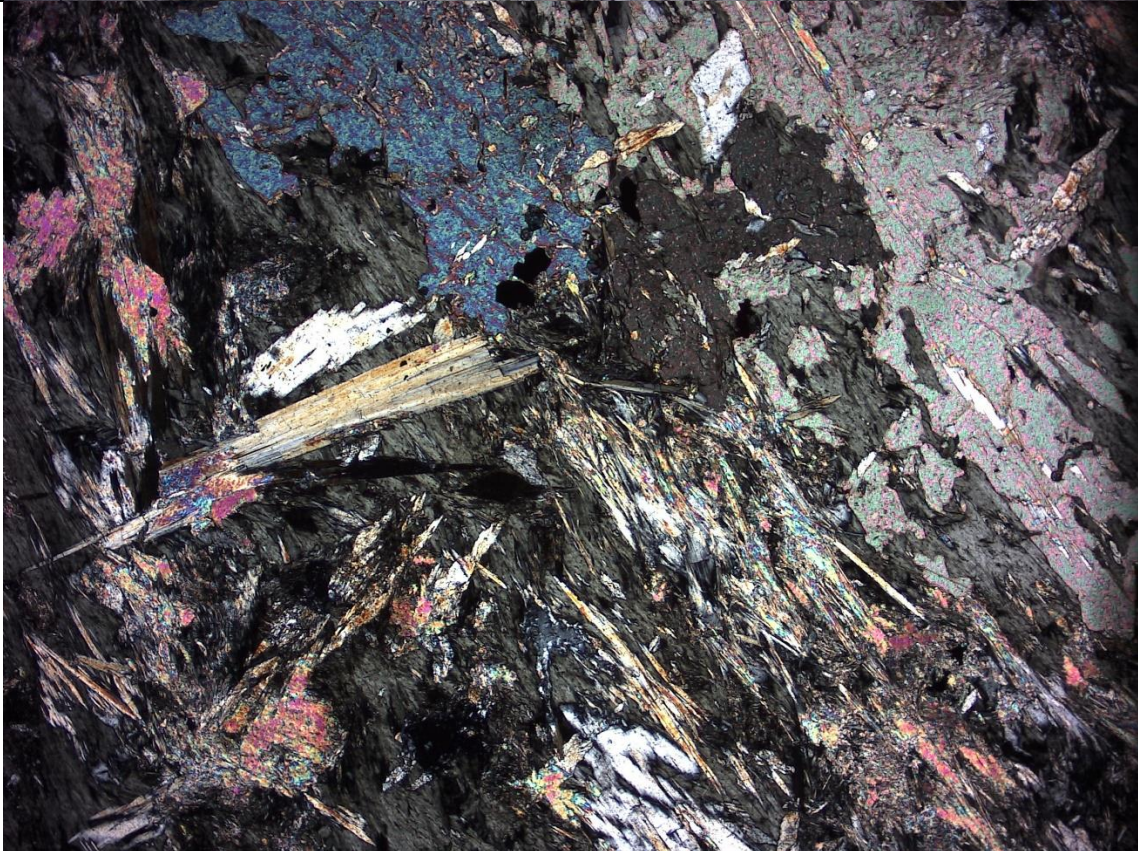
UM-15A A,B



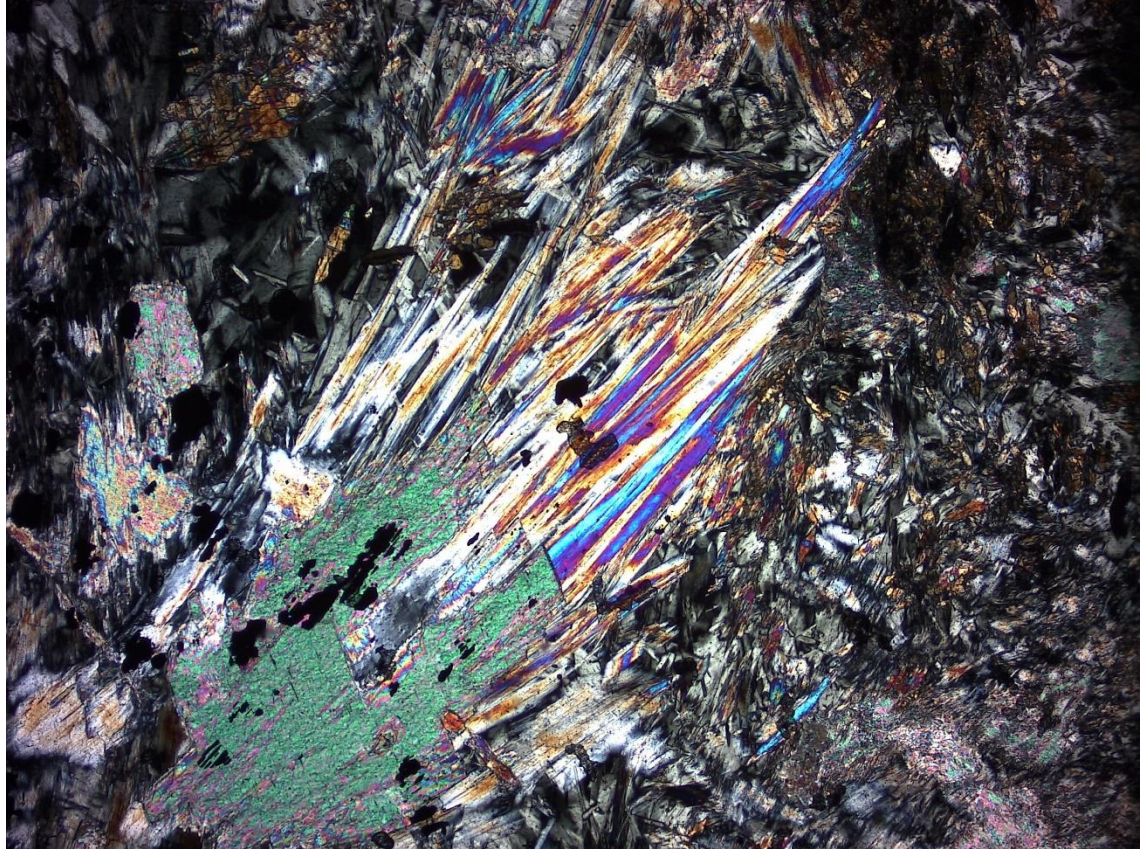
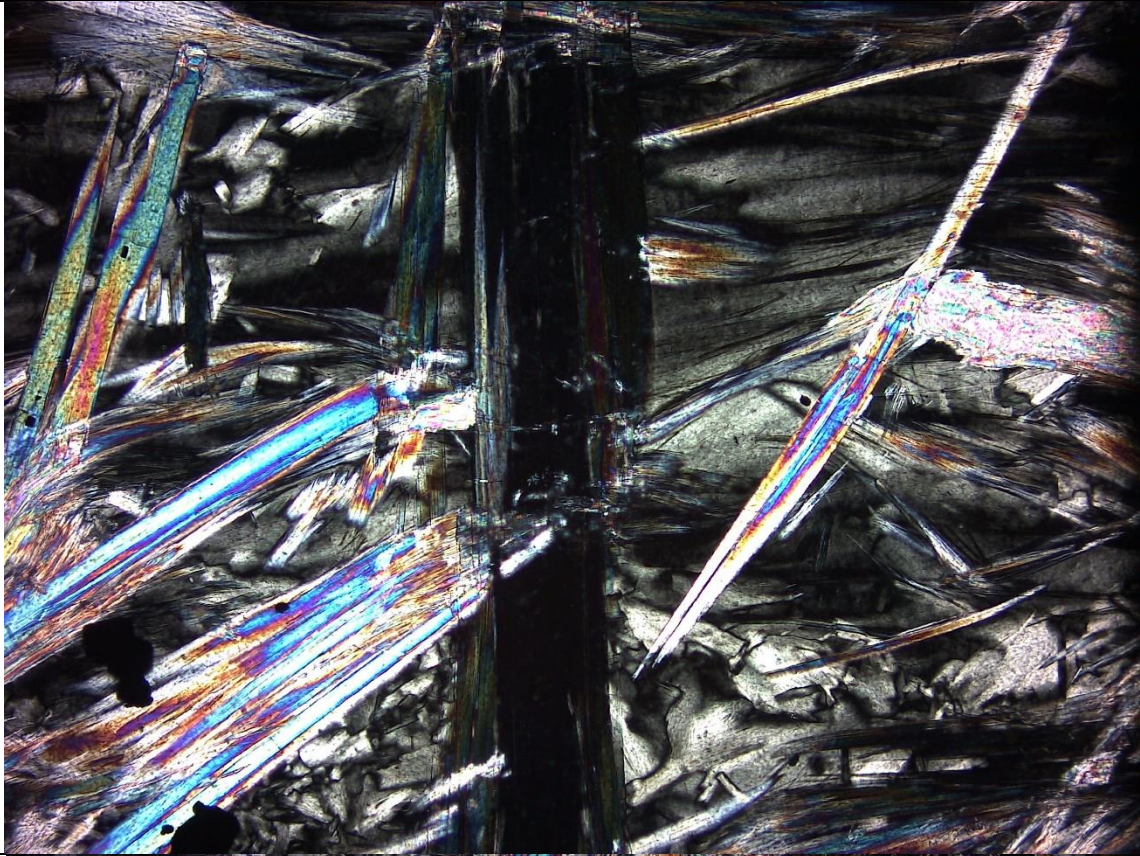
UM-15A C,D



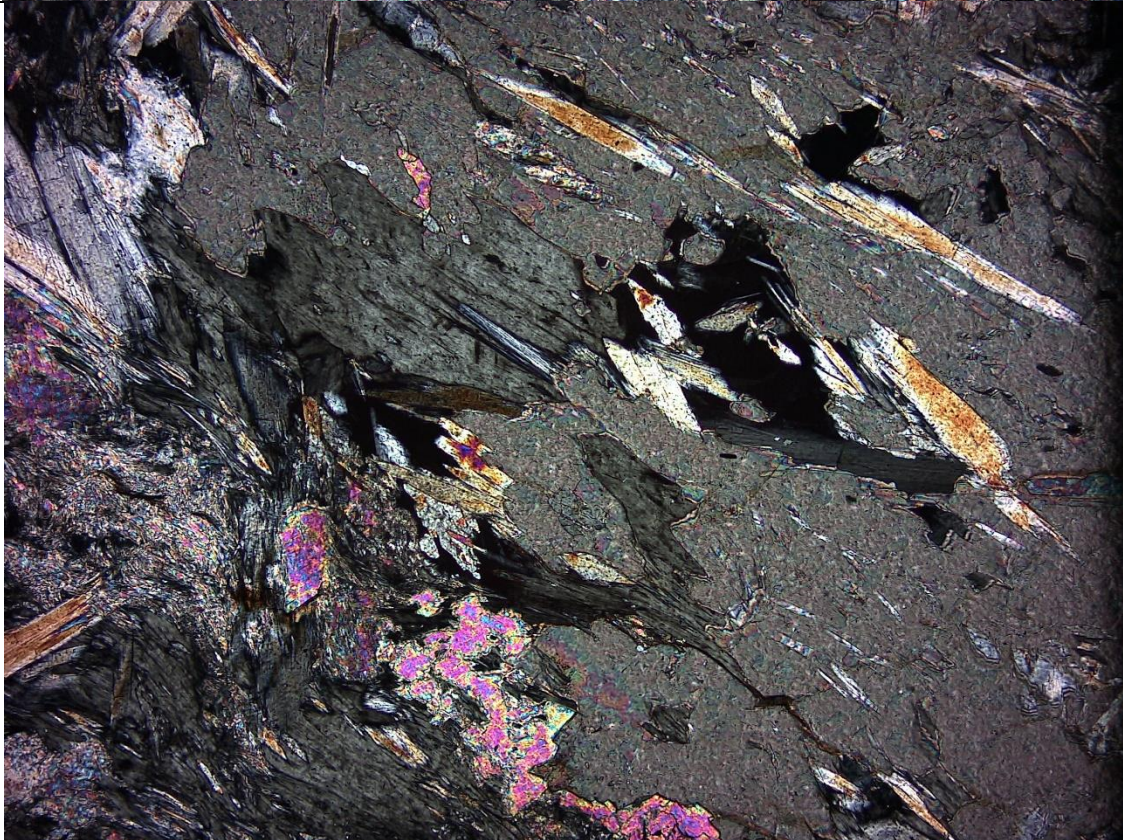
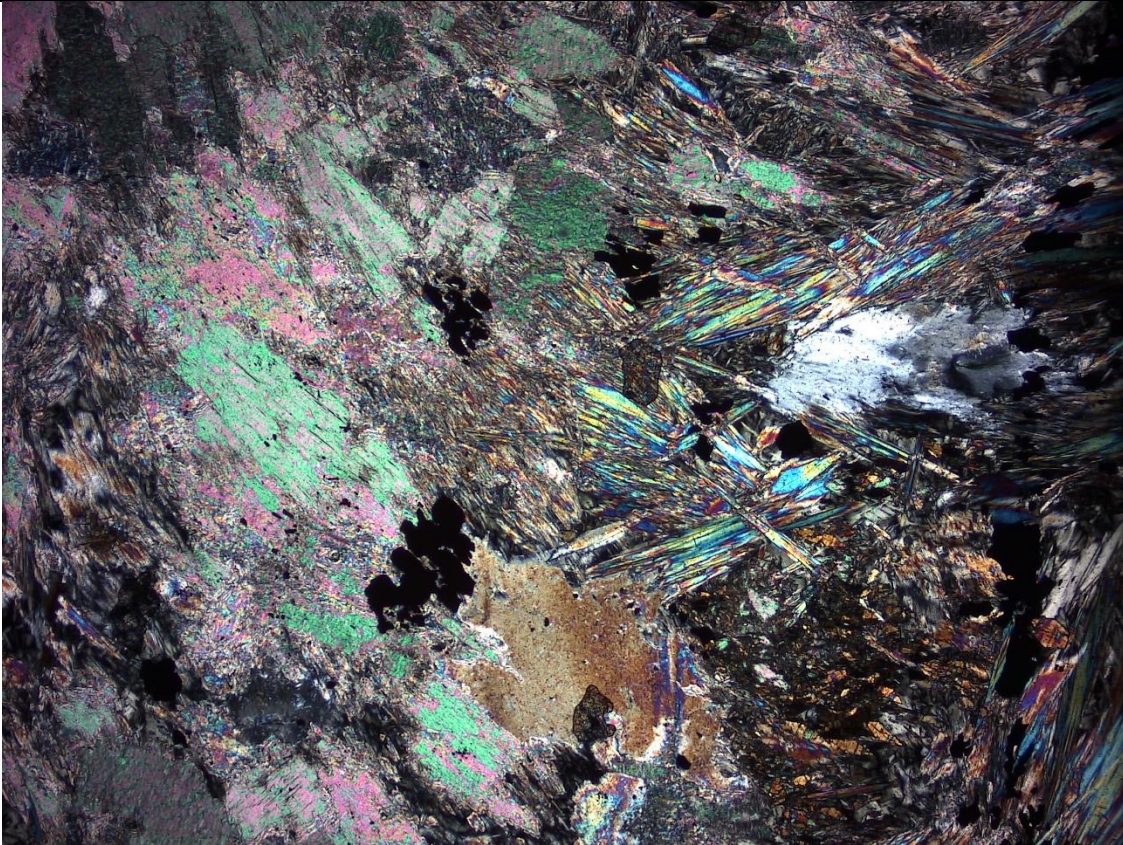
UM-15A E,F



UM-15A G,H



UM-15A I,J



UM-15A (A) – Aspecto geral da textura. Ath, Mg-Chl, Tlc, Mt. Notar Mg-Chl ligeiramente esverdeada (lado direito) e talco incolor (lado esquerdo), ambas com relevo baixo. Objetiva: 1,25X. Pol //

UM-15A (B) – Idem A, mas com Pol X. Notar diferenças de birrefringência entre os minerais.

UM-15A (C) – Ath, Mg-Chl, Tlc, Carb. Notar diferenças de relevo entre os minerais: Carb > Ath > Mg-Chl  $\geq$  Tlc. Objetiva de 4X, Pol //.

UM-15A (D) – Idem anterior, mas com Pol X. Notar diferenças de birrefringência entre os minerais.

UM-15A (E) – Ath, Mg-Chl, Tlc, Carb, Op (Mt). Notar orientação das palhetas de Mg-Chl e parte dos anfibólios e diferenças de relevo entre os minerais: Carb > Ath > Mg-Chl  $\geq$  Tlc. Objetiva de 4X, Pol //.

UM-15A (F) – Idem, Pol X. Notar diferenças de birrefringência entre os minerais.

UM-15A (G) – Ath, Mg-Chl. Notar posição de extinção do anfibólio. Objetiva de 10X, Pol X.

UM-15A (H) – Ath, Mg-Chl, Tlc. Feixe de Ath parcialmente talcificado. Objetiva de 10X, Pol X.

UM-15A (I) – Ath, Tlc, Mg-Chl. Notar variação da birrefringência do talco de verde-rosa de início da 4ª ordem até cinza-amarelo de 1ª ordem, em função da orientação óptica. Objetiva de 4X, Pol X.

UM-15A (J) – Mg-Chl em palhetas e prismas de anfibólio (Ath) orientadas, inclusas em carb. Objetiva de 10X, Pol X.